



同濟大學
TONGJI UNIVERSITY

基于模糊控制的吊车模型 仿真实验

学院（系）： 电子与信息工程学院

专 业： 自动化

作 者： 姚天亮(2150248)

指导老师： 朱芳来、蔚瑞华

日 期： 2023 年 12 月

《智能控制》期末大作业

考虑如下的吊车模型

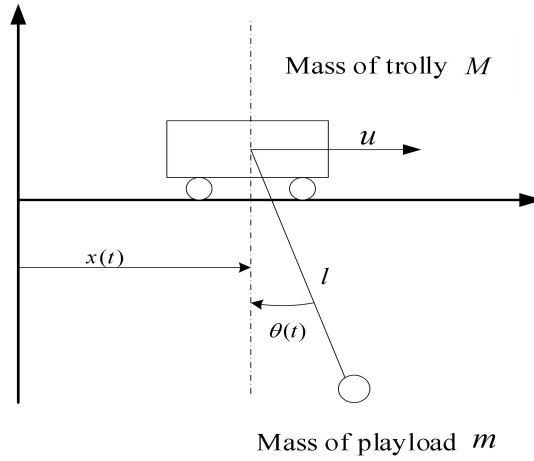


图 1：吊车模型

对吊车模型各个部分进行受力分析，可以得到该物理模型的动力学方程为：

$$\begin{cases} (M+m)\ddot{x} + ml\ddot{\theta}\cos\theta - ml\dot{\theta}^2\sin\theta = u + d \\ ml^2\ddot{\theta} + ml\ddot{x}\cos\theta + mgl\sin\theta = 0 \end{cases} \quad (1)$$

1. 如果选取状态变量为 $x_1 = x$, $x_2 = \dot{x}$, $x_3 = \theta$, $x_4 = \dot{\theta}$, 试推导吊车模型的动力学方程(1)可以由如下的仿射非线性系统状态空间模型表示(20 分)

$$\dot{\mathbf{x}} = \mathbf{f}(\mathbf{x}) + \mathbf{g}(\mathbf{x})(u + d) \quad (2)$$

其中

$$\mathbf{f}(\mathbf{x}) = \begin{bmatrix} x_2 \\ \frac{mlx_4^2 \sin x_3 + mg \sin x_3 \cos x_3}{(M + m \sin^2 x_3)} \\ x_4 \\ -\frac{mlx_4^2 \sin x_3 \cos x_3 + (M + m)g \sin x_3}{l(M + m \sin^2 x_3)} \end{bmatrix}, \mathbf{g}(\mathbf{x}) = \frac{1}{M + m \sin^2 x_3} \begin{bmatrix} 0 \\ 1 \\ 0 \\ -\frac{\cos x_3}{l} \end{bmatrix}$$

其中, $\mathbf{x} = [x_1 \ x_2 \ x_3 \ x_4]^T$ 是状态向量, d 是未知干扰, 如下可以置 d 为零(即不存在)。

联立消 θ , 将②代入①:

$$(M+m)\ddot{x} + \frac{-m\dot{x}\cos\theta - mg\sin\theta}{L}\cos\theta - m\dot{\theta}^2\sin\theta = u+d$$

$$\text{即: } (M+m)\ddot{x} - m\dot{x}\cos^2\theta - mg\sin\theta\cos\theta - m\dot{\theta}^2\sin\theta = u+d$$

$$(M+m\sin^2\theta)\ddot{x} = u+d + m\dot{\theta}^2\sin\theta + mg\sin\theta\cos\theta \quad (3)$$

③代入②:

$$m\dot{\theta}^2 + m\cos\theta \frac{(u+d)^2 + m\dot{\theta}^2\sin\theta + mg\sin\theta\cos\theta}{M+m\sin^2\theta} + mg\sin\theta = 0$$

$$\therefore \ddot{\theta} = -\frac{\cos\theta}{(M+m\sin^2\theta)L} - \frac{m\dot{\theta}^2\sin\theta\cos\theta + (M+m)g\sin\theta}{L(M+m\sin^2\theta)}$$

$$\text{状态变量: } z_1(t) = x, \quad z_2(t) = \dot{x}, \\ z_3(t) = \theta, \quad z_4(t) = \dot{\theta}$$

求状态变量的导数:

$$\begin{bmatrix} \frac{dz_1(t)}{dt} \\ \frac{dz_2(t)}{dt} \\ \frac{dz_3(t)}{dt} \\ \frac{dz_4(t)}{dt} \end{bmatrix} = \begin{bmatrix} z_2 \\ \frac{m\dot{x}^2\sin\theta + mg\sin\theta\cos\theta}{M+m\sin^2\theta} \\ z_4 \\ -\frac{m\dot{x}^2\sin\theta\cos\theta + (M+m)g\sin\theta}{L(M+m\sin^2\theta)} \end{bmatrix} + \begin{bmatrix} 0 \\ \frac{u+d}{M+m\sin^2\theta} \\ 0 \\ -\frac{(u+d)\cos\theta}{(M+m\sin^2\theta)L} \end{bmatrix}$$

结果与题设一致, 得证!

2. 按本作业附件给出的算法, 取三个操作点 $\mathbf{x}_1 = [0 \ 0 \ 0 \ 0]^T$,

$\mathbf{x}_2 = [10 \ 0 \ \pi/18 \ 0]^T$, $\mathbf{x}_3 = [10 \ 1 \ \pi/18 \ 0]^T$, 计算 T-S 模糊模型子系统

系统矩阵 $A_1, B_1, A_2, B_2, A_3, B_3$ (20 分)

(1) 验证第一个操作点:

第一个操作点的 $A_1 =$

$$\begin{bmatrix} 0, & 1, & & 0, & 0 \\ 0, & 0, & & (g \cdot m) / M, & 0 \\ 0, & 0, & & 0, & 1 \\ 0, & 0, & & -(g \cdot (M + m)) / (M \cdot L), & 0 \end{bmatrix}$$

第一个操作点的 $B_1 =$

$$\begin{bmatrix} 0 \\ 1/M \\ 0 \\ -1/(M \cdot L) \end{bmatrix}$$

(2) 计算第二个操作点:

由于屏幕限制, 分多张图给出结果

```
第二个操作点的A2=
[
  [-10*(pi*(g*m*cos(pi/18)^2 - g*m*sin(pi/18)^2)/(M + m*sin(pi/18)^2) - (2*g*m^2*cos(pi/18)^2*sin(pi/18)^2)/(M + m*sin(pi/18)^2))/18 - (g*m*cos(pi/18)*sin(pi/18))/(M + m*sin(pi/18)^2))/(pi^2/324 + 100), 0,
  [
    10*(pi*(g*cos(pi/18)*(M + m))/(l*(M + m*sin(pi/18)^2)) - (2*g*m*cos(pi/18)*sin(pi/18)^2*(M + m))/(l*(M + m*sin(pi/18)^2)))/18 - (g*sin(pi/18)*(M + m))/(l*(M + m*sin(pi/18)^2)))/(pi^2/324 + 100), 0,
  ]

(g*m*cos(pi/18)^2 - g*m*sin(pi/18)^2)/(M + m*sin(pi/18)^2) - (pi*(pi*(g*m*cos(pi/18)^2 - g*m*sin(pi/18)^2)/(M + m*sin(pi/18)^2) - (2*g*m^2*cos(pi/18)^2*sin(pi/18)^2)/(M + m*sin(pi/18)^2))/18 - (g*m*cos(pi/18)*sin(pi/18))/(M + m*
(pi*(pi*(g*cos(pi/18)*(M + m))/(l*(M + m*sin(pi/18)^2)) - (2*g*m*cos(pi/18)*sin(pi/18)^2*(M + m))/(l*(M + m*sin(pi/18)^2)))/18 - (g*sin(pi/18)*(M + m))/(l*(M + m*sin(pi/18)^2)))/(18*(pi^2/324 + 100)) - (g*cos(pi/18)*(M + m

0, 1,
0, 0,
0, 0,
0, 0]

)/(M + m*sin(pi/18)^2))/(18*(pi^2/324 + 100)) - (2*g*m^2*cos(pi/18)^2*sin(pi/18)^2)/(M + m*sin(pi/18)^2)^2, 0]
0, 1]
/18)*(M + m))/(l*(M + m*sin(pi/18)^2)) + (2*g*m*cos(pi/18)*sin(pi/18)^2*(M + m))/(l*(M + m*sin(pi/18)^2)^2), 0]
```

第二个操作点的B2=

$$\begin{matrix} 0 \\ 1/(M + m*\sin(\pi/18)^2) \\ 0 \\ -\cos(\pi/18)/(l*(M + m*\sin(\pi/18)^2)) \end{matrix}$$

(3) 计算第三个操作点:

```
第三个操作点的A3=
[
  [-10*(pi*(g*m*cos(pi/18)^2 - g*m*sin(pi/18)^2)/(M + m*sin(pi/18)^2) - (2*g*m^2*cos(pi/18)^2*sin(pi/18)^2)/(M + m*sin(pi/18)^2))/18 - (g*m*cos(pi/18)*sin(pi/18))/(M + m*sin(pi/18)^2))/(pi^2/324 + 101),
  [
    10*(pi*(g*cos(pi/18)*(M + m))/(l*(M + m*sin(pi/18)^2)) - (2*g*m*cos(pi/18)*sin(pi/18)^2*(M + m))/(l*(M + m*sin(pi/18)^2)))/18 - (g*sin(pi/18)*(M + m))/(l*(M + m*sin(pi/18)^2)))/(pi^2/324 + 101),
  ]

-(pi*(g*m*cos(pi/18)^2 - g*m*sin(pi/18)^2)/(M + m*sin(pi/18)^2) - (2*g*m^2*cos(pi/18)^2*sin(pi/18)^2)/(M + m*sin(pi/18)^2))/18 - (g*m*cos(pi/18)*sin(pi/18))/(M + m*sin(pi/18)^2))/(pi^2/324 + 101),
  (pi*(g*cos(pi/18)*(M + m))/(l*(M + m*sin(pi/18)^2)) - (2*g*m*cos(pi/18)*sin(pi/18)^2*(M + m))/(l*(M + m*sin(pi/18)^2)))/18 - (g*sin(pi/18)*(M + m))/(l*(M + m*sin(pi/18)^2)))/(pi^2/324 + 101),

(g*m*cos(pi/18)^2 - g*m*sin(pi/18)^2)/(M + m*sin(pi/18)^2) - (pi*(pi*(g*m*cos(pi/18)^2 - g*m*sin(pi/18)^2)/(M + m*sin(pi/18)^2) - (2*g*m^2*cos(pi/18)^2*sin(pi/18)^2)/(M + m*sin(pi/18)^2))/18 - (g*m*cos(pi/18)*sin(pi/18))/(M + m*
(pi*(pi*(g*cos(pi/18)*(M + m))/(l*(M + m*sin(pi/18)^2)) - (2*g*m*cos(pi/18)*sin(pi/18)^2*(M + m))/(l*(M + m*sin(pi/18)^2)))/18 - (g*sin(pi/18)*(M + m))/(l*(M + m*sin(pi/18)^2)))/(18*(pi^2/324 + 101)) - (g*cos(pi/18)*(M + m

0, 0]
1/18)^2)/(M + m*sin(pi/18)^2) - (2*g*m^2*cos(pi/18)^2*sin(pi/18)^2)/(M + m*sin(pi/18)^2))/18 - (g*m*cos(pi/18)*sin(pi/18))/(M + m*sin(pi/18)^2))/(18*(pi^2/324 + 101)) - (2*g*m^2*cos(pi/18)^2*sin(pi/18)^2)/(M + m*sin(pi/18)^2)^2, 0]
+ m))/(l*(M + m*sin(pi/18)^2)))/18 - (g*sin(pi/18)*(M + m))/(l*(M + m*sin(pi/18)^2)))/(18*(pi^2/324 + 101)) - (g*cos(pi/18)*(M + m))/(l*(M + m*sin(pi/18)^2)) + (2*g*m*cos(pi/18)*sin(pi/18)^2*(M + m))/(l*(M + m*sin(pi/18)^2)^2), 0]
```

第三个操作点的B3=

$$\begin{matrix} 0 \\ 1/(M + m*\sin(\pi/18)^2) \\ 0 \\ -\cos(\pi/18)/(l*(M + m*\sin(\pi/18)^2)) \end{matrix}$$

因此, 模糊子系统矩阵计算完毕。如果能够给出 m 、 M 、 g 、 l 、和 π 的取值, 则结果可以美观很多。经过手算平衡点的验证, 此计算结果没有问题。

这里代入仿真参数的选取:

第一个操作点的A1=

0	1.0000	0	0
0	0	4.9050	0
0	0	0	1.0000
0	0	-3.6787	0

第一个操作点的B1=

0
0.0100
0
-0.0025

第二个操作点的A2=

0	1.0000	0	0
0.0058	0	4.4016	0
0	0	0	1.0000
-0.0025	0	-3.4631	0

第二个操作点的B2=

0
0.0099
0
-0.0024

第三个操作点的A3=

0	1.0000	0	0
0.0058	0.0006	4.4016	0
0	0	0	1.0000
-0.0025	-0.0002	-3.4631	0

第三个操作点的B3=

0
0.0099
0
-0.0024

本题代码如下：

```
clear all;close all;
%syms M m l g ;%设定变量 M、m、l、g 为符号变量
syms x1 x2 x3 x4;%设定变量 x1、x2、x3、x4
M=100;m=50;l=4;g=9.81;
x01=[0 0 0 0]';
x02=[10 0 pi/18 0]';
x03=[10 1 pi/18 0]';%给出题目要求的三个操作点
x=[x1;x2;x3;x4];
```

```
f=[x2;(m*1*x4^2*sin(x3)+m*g*sin(x3)*cos(x3))/(M+m*sin(x3)*sin(x3));x4;-(m*1*x4^2*sin(x3)*cos(x3)+(M+m)*g*sin(x3))/1/(M+m*sin(x3)*sin(x3))];
gx=1/(M+m*sin(x3)*sin(x3))*[0;1;0;-cos(x3)/1];
J=jacobian(f,x);
Ai=J+(f-J*x)*x'/(x'*x);
A1=double(subs(J,x,x01));
B1=double(subs(gx,x,x01));
A2=double(subs(Ai,x,x02));
B2=double(subs(gx,x,x02));
A3=double(subs(Ai,x,x03));
B3=double(subs(gx,x,x03));
disp('第一个操作点的 A1=');disp(A1);
disp('第一个操作点的 B1=');disp(B1);
disp('第二个操作点的 A2=');disp(A2);
disp('第二个操作点的 B2=');disp(B2);
disp('第三个操作点的 A3=');disp(A3);
disp('第三个操作点的 B3=');disp(B3);
```

3. 取如下的三个权值： $h_1(x_3)=\frac{M \sin^2 x_3}{M+m \sin^2 x_3}$ ， $h_2(x_3)=\frac{M \cos^2 x_3}{M+m \sin^2 x_3}$ ，

$h_3(x_3)=\frac{m \sin^2 x_3}{M+m \sin^2 x_3}$ ，验证开环系统的 T-S 模糊模型

$$\dot{x}(t)=\sum_{i=1}^3 h_i(x_3(t)) [A_i x(t)+B_i(u(t)+d(t))] \quad (3)$$

与仿射非线性系统的吻合程度：(20 分)

(1) 提供四张仿真图，每张仿真图，分别画出 T-S 模糊系统(3)和仿射非线性系统(2)的状态 $x_i(t)(i=1,2,3,4)$ 的轨迹图；(时间区间：[0, 30])

(2) 给出仿真程序；

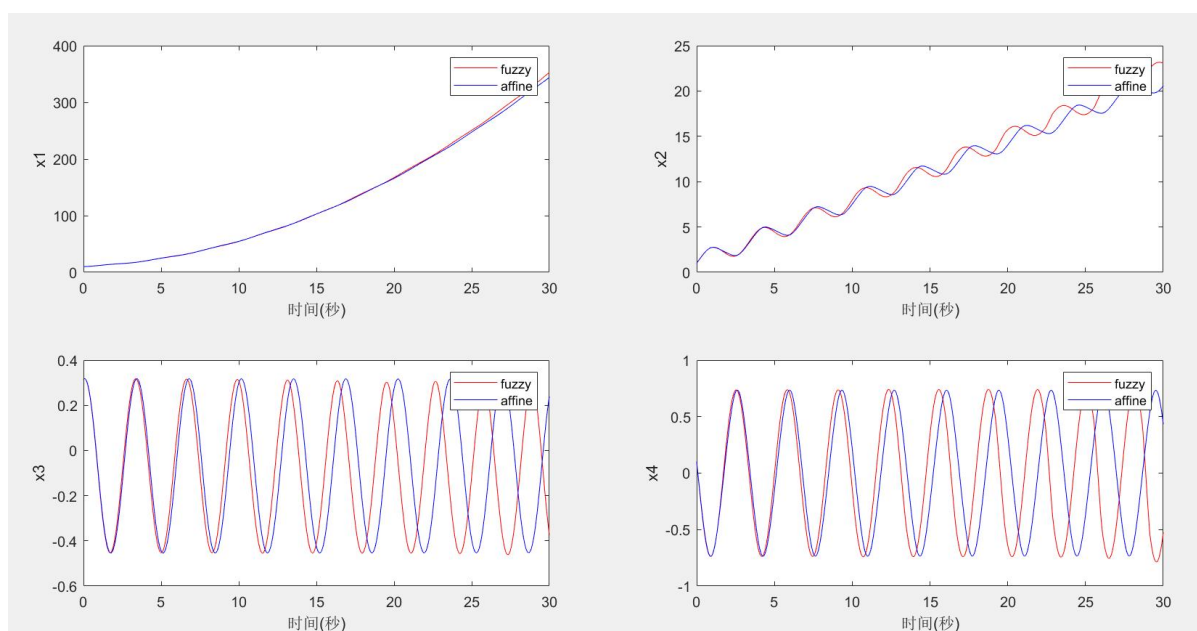
1、提供四张模糊系统与仿射非线性系统的轨迹仿真图

模糊控制方法由如下给出：

$x(3) \leq 0.25$ 时隶属度函数为 1；

$0.25 < x(3) \leq 0.75$ 时隶属度函数为 $-2x+1.5$

$0.75 < x(3)$ 时隶属度函数为 0；



2、给出仿真程序

核心新增部分：

```
x0(1:4)=[10 1 pi/10 0.1]';
[t,open_fuzzy]=ode45('open_fuzzy_module',0:0.01:30, x0);
[t,open_affine]=ode45('open_affine_module',0:0.01:30, x0);
figure(1);
subplot(2,2,1);
plot(t, open_fuzzy(:,1),'r',t,open_affine(:,1),'b');
xlabel('时间(秒)');
ylabel('x1');
legend('fuzzy','affine');
subplot(2,2,2);
plot(t, open_fuzzy(:,2),'r',t,open_affine(:,2),'b');
xlabel('时间(秒)');
ylabel('x2');
legend('fuzzy','affine');
subplot(2,2,3);
plot(t, open_fuzzy(:,3),'r',t,open_affine(:,3),'b');
xlabel('时间(秒)');
ylabel('x3');
legend('fuzzy','affine');
subplot(2,2,4);
plot(t, open_fuzzy(:,4),'r',t,open_affine(:,4),'b');
xlabel('时间(秒)');
ylabel('x4');
legend('fuzzy','affine');
```

```
function xdot = close_fuzzy_module(t, x);
global A0 A1 A2 B0 B1 B2 u M m K0 K1 K2;
if(x(3)<=0.25)
    h0=1;
elseif(0.25<x(3)<=0.75)
    %h0=sin(x(3))/x(3);
    h0=-2*x(3)+1.5;
else
    h0=0;
end
h1=(1-h0)/4;
h2=3*h1;
u0=u-h0*K0*x-h1*K1*x-h2*K2*x;
```

```
xdot=h0*(A0*x+B0*u0)+h1*(A1*x+B1*u0)+h2*(A2*x+B2*u0);
```

```
function xdot = open_affine_module(t, x);  
global M m l u g;  
f=[x(2);(m*l*x(4)^2*sin(x(3))+m*g*sin(x(3))*cos(x(3)))/(M+m*sin(x(3))*sin(x(3)));x(4);-(m*l*x(4)^2*sin(x(3))*cos(x(3))+(M+m)*g*sin(x(3)))/1/(M+m*sin(x(3))*sin(x(3)))];  
gx=1/(M+m*sin(x(3))*sin(x(3)))*[0;1;0;-cos(x(3))/1];  
xdot=f+gx*u;
```

4. 基于 T-S 模糊模型，设计状态反馈控制器： $u(t) = \sum_{i=1}^N h_i(x_3(t)) K_i x(t)$ ，将各个子

系统的极点配置到左半平面，仿真验证在该控制律下：

(1) T-S 模糊闭环系统的控制效果，并画出闭环系统的状态轨迹图；

(2) 仿射非线性系统(2)的闭环系统的效果，并画出闭环系统的状态轨迹图；

(3) 给出仿真代码；(20 分)

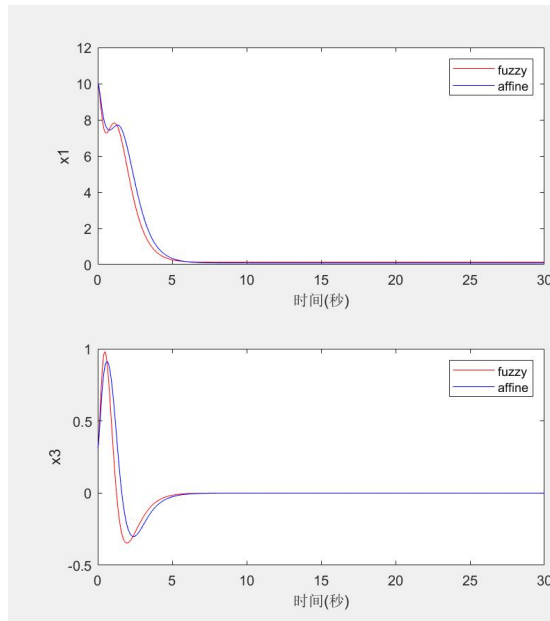
注：三个操作点分别配置到极点

$$p_1 = [-2.7534 \quad -1.5464 \quad -1.6355 \quad -2.7453]$$

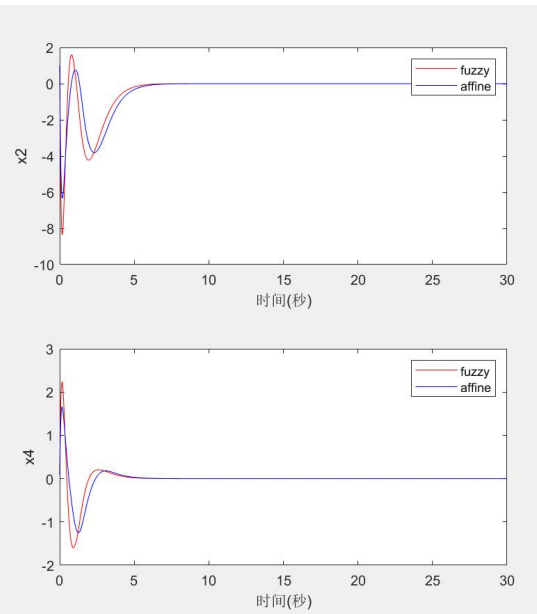
$$p_2 = [-1.5324 \quad -2.4353 \quad -2.6961 \quad -2.6343]$$

$$p_3 = [-2.6594 \quad -1.6445 \quad -2.3595 \quad -3.2659]$$

1、T-S 模糊闭环系统的轨迹图



2、仿射非线性系统闭环轨迹图



3、给出仿真代码

核心新增部分：

```
x0(1:4)=[10 1 pi/10 0.1]';
p1=[-2.7534 -1.5464 -1.6355 -2.7453];
p2=[-1.5324 -2.4353 -2.6961 -2.6343];
p3=[-2.6594 -1.6445 -2.3595 -3.2659];
K0=place(A0,B0,p1);K1=place(A1,B1,p2);K2=place(A2,B2,p3);
[t,close_fuzzy]=ode45('close_fuzzy_module',0:0.01:30, x0);
[t,close_affine]=ode45('close_affine_module',0:0.01:30, x0);
figure(2);
subplot(2,2,1);
plot(t, close_fuzzy(:,1),'r',t,close_affine(:,1),'b');
xlabel('时间(秒)');
ylabel('x1');
legend('fuzzy','affine');
subplot(2,2,2);
plot(t, close_fuzzy(:,2),'r',t,close_affine(:,2),'b');
xlabel('时间(秒)');
ylabel('x2');
```

```

legend('fuzzy','affine');
subplot(2,2,3);
plot(t, close_fuzzy(:,3),'r',t,close_affine(:,3),'b');
xlabel('时间(秒)');
ylabel('x3');
legend('fuzzy','affine');
subplot(2,2,4);
plot(t, close_fuzzy(:,4),'r',t,close_affine(:,4),'b');
xlabel('时间(秒)');
ylabel('x4');
legend('fuzzy','affine');

```

```

function xdot = close_fuzzy_module(t, x);
global A0 A1 A2 B0 B1 B2 u M m K0 K1 K2;
if(x(3)<=0.25)
    h0=1;
elseif(0.25<x(3)<=0.75)
    %h0=sin(x(3))/x(3);
    h0=-2*x(3)+1.5;
else
    h0=0;
end
h1=(1-h0)/4;
h2=3*h1;
u0=u-h0*K0*x-h1*K1*x-h2*K2*x;
xdot=h0*(A0*x+B0*u0)+h1*(A1*x+B1*u0)+h2*(A2*x+B2*u0);

```

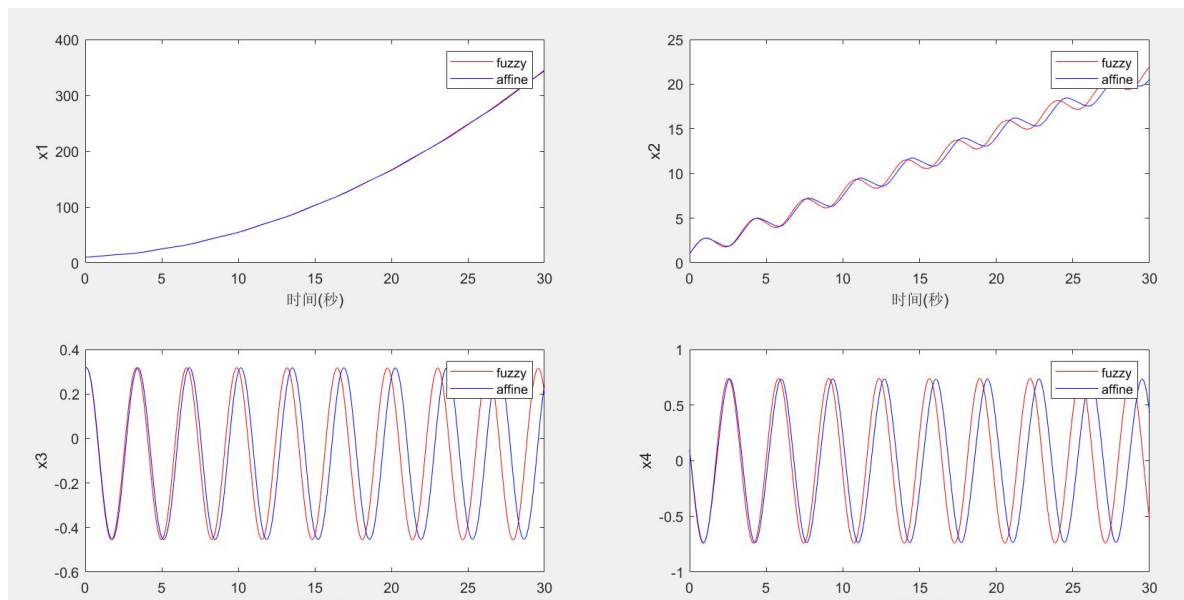
```

function xdot = close_affine_module(t, x);
global M m l u g K0 K1 K2;
f=[x(2);(m*l*x(4)^2*sin(x(3))+m*g*sin(x(3))*cos(x(3)))/(M+m*sin(x(3))*sin(x(3)));x(4);-(m*l*x(4)^2*sin(x(3))*cos(x(3))+(M+m)*g*sin(x(3)))/l/(M+m*sin(x(3))*sin(x(3)))];
gx=1/(M+m*sin(x(3))*sin(x(3)))*[0;1;0;-cos(x(3))/l];
h0=M*(sin(x(3)))^2/(M+m*sin(x(3))*sin(x(3)));
h1=M*(cos(x(3)))^2/(M+m*sin(x(3))*sin(x(3)));
h2=m*(sin(x(3)))^2/(M+m*sin(x(3))*sin(x(3)));
xdot=f+gx*(u-h0*K0*x-h1*K1*x-h2*K2*x);

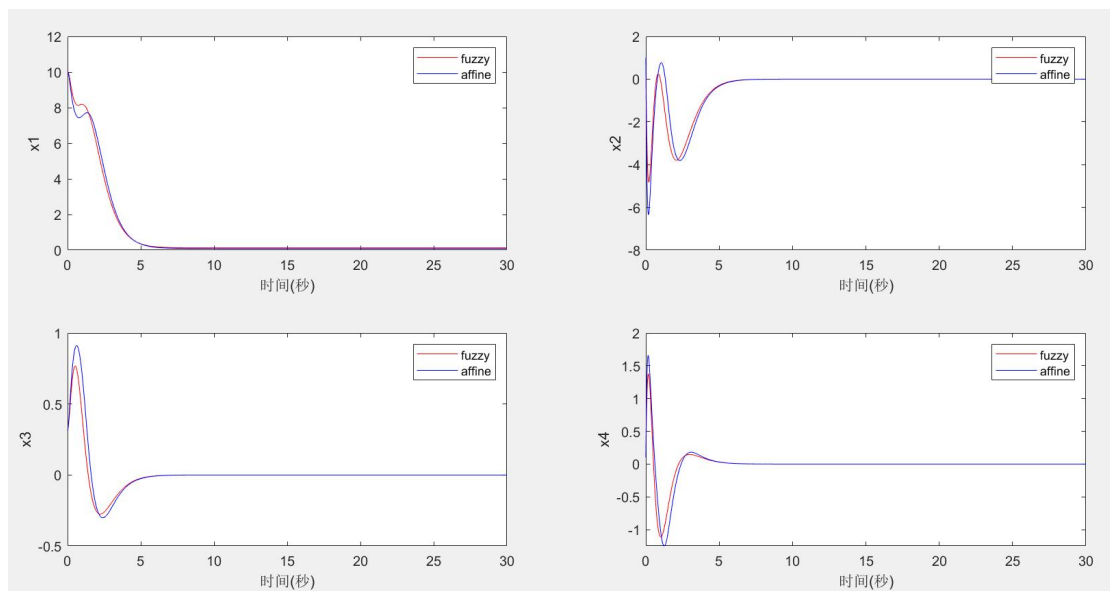
```

5. 对仿真结果进行分析和讨论 (20 分)

从开环轨迹图的对比可以看出，两张图之间的轨迹差异比较明显，说明模糊控制器的模型选择的不够好 用 trimf 类型实现模糊控制效果不太好，可以改进尝试其他的隶属度函数。将 $h(0)$ 的取值改为 $\sin(x)/x$ 之后，图像得到了极大的改善。



改善后的开环轨迹图



改善后的闭环轨迹图

附件：

1、仿真参数选取：

仿真参数选取：吊车车体的质量 $M=100kg$, 货物的质量 $m=50kg$, 吊绳的长度 $l=4m$, 吊车的动力 $u=100N$, 重力加速度取 $g=9.81N/kg$, 系统初值设为 $x_0=[10 \ 1 \ pi/10 \ 0.1]$ 。

2、附件算法

对非线性项 $f(x)=[f_1^T(x) \ \cdots \ f_n^T(x)]^T$, 记

$$\nabla f_k(x) = \begin{bmatrix} \frac{\partial f_k(x)}{\partial x_1} \\ \vdots \\ \frac{\partial f_k(x)}{\partial x_n} \end{bmatrix}, (k=1, \cdots, n)$$

它是 $f(x)$ 的梯度, 在记它的 Jacobian 矩阵为

$$J(x) \triangleq \frac{\partial f(x)}{\partial x^T} \triangleq \begin{bmatrix} \nabla^T f_1(x) \\ \nabla^T f_2(x) \\ \vdots \\ \nabla^T f_n(x) \end{bmatrix} = \begin{bmatrix} \frac{\partial f_1(x)}{\partial x_1} & \frac{\partial f_1(x)}{\partial x_2} & \cdots & \frac{\partial f_1(x)}{\partial x_n} \\ \frac{\partial f_2(x)}{\partial x_1} & \frac{\partial f_2(x)}{\partial x_2} & \cdots & \frac{\partial f_2(x)}{\partial x_n} \\ \cdots & \cdots & \cdots & \cdots \\ \frac{\partial f_n(x)}{\partial x_1} & \frac{\partial f_n(x)}{\partial x_2} & \cdots & \frac{\partial f_n(x)}{\partial x_n} \end{bmatrix} \in \mathbf{R}^{n \times n}$$

为了构造含 N 个子系统的 T-S 模糊系统, 选取 N 个操作点 $x_{0,i} (i=1, \cdots, N)$, 其中必须包含系统的平衡点 $x_{0,1}$

对平衡点 $x_{0,1}$ 对于的子系统计算如下

$$A_1 = J(x_{0,1}) \text{ and } B_1 = g(x_{0,1}) \quad (A1)$$

对其他操作点 $x_{0,i} (i=2, \cdots, N)$, 对于的子系统计算如下

$$A_i = J(x_{0,i}) + \frac{1}{\|x_{0,i}\|^2} [f(x_{0,i}) - J(x_{0,i})x_{0,i}] x_{0,i}^T \text{ and } B_i = g(x_{0,i}) \quad (A2)$$

附录：整理好的完整代码

fuzzy_trolley.m

```
clear all;close all;
global M m l u g;
global A0 A1 A2 B0 B1 B2 x3 K0 K1 K2;
syms M m l g ;
M=100;m=50;l=4;g=9.81;u=100;
syms x1 x2 x3 x4;
x00=[0 0 0 0]';x01=[10 0 pi/18 0]';x02=[10 1 pi/18 0]';
x=[x1;x2;x3;x4];
f=[x2;(m*l*x4^2*sin(x3)+m*g*sin(x3)*cos(x3))/(M+m*sin(x3)*sin(x3));x4;-(m*l*x4^2*sin(x3)*cos(x3)+(M+m)*g*sin(x3))/l/(M+m*sin(x3)*sin(x3))];
gx=1/(M+m*sin(x3)*sin(x3))*[0;1;0;-cos(x3)/l];
J=jacobian(f,x);
Ai=J+(f-J*x)*x'/(x'*x);
A0=double(subs(J,x,x00));
B0=double(subs(gx,x,x00));
A1=double(subs(Ai,x,x01));
B1=double(subs(gx,x,x01));
A2=double(subs(Ai,x,x02));
B2=double(subs(gx,x,x02));
disp('第一个操作点的 A1=');disp(A0);
disp('第一个操作点的 B1=');disp(B0);
disp('第二个操作点的 A2=');disp(A1);
disp('第二个操作点的 B2=');disp(B1);
disp('第三个操作点的 A3=');disp(A2);
disp('第三个操作点的 B3=');disp(B2);

x0(1:4)=[10 1 pi/10 0.1]';
[t,open_fuzzy]=ode45('open_fuzzy_module',0:0.01:30, x0);
[t,open_affine]=ode45('open_affine_module',0:0.01:30, x0);
figure(1);
subplot(2,2,1);
plot(t, open_fuzzy(:,1),'r',t,open_affine(:,1),'b');
xlabel('时间(秒)');
ylabel('x1');
legend('fuzzy','affine');
subplot(2,2,2);
plot(t, open_fuzzy(:,2),'r',t,open_affine(:,2),'b');
xlabel('时间(秒)');
ylabel('x2');
```

```

legend('fuzzy', 'affine');
subplot(2,2,3);
plot(t, open_fuzzy(:,3), 'r', t, open_affine(:,3), 'b');
xlabel('时间(秒)');
ylabel('x3');
legend('fuzzy', 'affine');
subplot(2,2,4);
plot(t, open_fuzzy(:,4), 'r', t, open_affine(:,4), 'b');
xlabel('时间(秒)');
ylabel('x4');
legend('fuzzy', 'affine');

x0(1:4)=[10 1 pi/10 0.1]';
p1=[-2.7534 -1.5464 -1.6355 -2.7453];
p2=[-1.5324 -2.4353 -2.6961 -2.6343];
p3=[-2.6594 -1.6445 -2.3595 -3.2659];
K0=place(A0,B0,p1);K1=place(A1,B1,p2);K2=place(A2,B2,p3);
[t,close_fuzzy]=ode45('close_fuzzy_module',0:0.01:30, x0);
[t,close_affine]=ode45('close_affine_module',0:0.01:30, x0);
figure(2);
subplot(2,2,1);
plot(t, close_fuzzy(:,1), 'r', t, close_affine(:,1), 'b');
xlabel('时间(秒)');
ylabel('x1');
legend('fuzzy', 'affine');
subplot(2,2,2);
plot(t, close_fuzzy(:,2), 'r', t, close_affine(:,2), 'b');
xlabel('时间(秒)');
ylabel('x2');
legend('fuzzy', 'affine');
subplot(2,2,3);
plot(t, close_fuzzy(:,3), 'r', t, close_affine(:,3), 'b');
xlabel('时间(秒)');
ylabel('x3');
legend('fuzzy', 'affine');
subplot(2,2,4);
plot(t, close_fuzzy(:,4), 'r', t, close_affine(:,4), 'b');
xlabel('时间(秒)');
ylabel('x4');
legend('fuzzy', 'affine');

```

open_fuzzy_module.m

```
function xdot = open_fuzzy_module(t, x);
global A0 A1 A2 B0 B1 B2 u M m;
% if(x(3)<=0.25)
%     h0=1;
% elseif(0.25<x(3)<=0.75)
%     h0=-2*x(3)+1.5;
% else
%     h0=0;
% end
h0=sin(x(3))/x(3);
h1=(1-h0)/4;
h2=3*h1;
xdot=h0*(A0*x+B0*u)+h1*(A1*x+B1*u)+h2*(A2*x+B2*u);
```

close_fuzzy_module.m

```
function xdot = close_fuzzy_module(t, x);
global A0 A1 A2 B0 B1 B2 u M m K0 K1 K2;
% if(x(3)<=0.25)
%     h0=1;
% elseif(0.25<x(3)<=0.75)
%     %h0=sin(x(3))/x(3);
%     h0=-2*x(3)+1.5;
% else
%     h0=0;
% end
h0=sin(x(3))/x(3);
h1=(1-h0)/4;
h2=3*h1;
u0=u-h0*K0*x-h1*K1*x-h2*K2*x;
xdot=h0*(A0*x+B0*u0)+h1*(A1*x+B1*u0)+h2*(A2*x+B2*u0);
```

open_affine_module.m

```
function xdot = open_affine_module(t, x);
global M m l u g;
f=[x(2);(m*l*x(4)^2*sin(x(3))+m*g*sin(x(3))*cos(x(3)))/(M+m*sin(x(3))*sin(x(3)));x(4);-(m*l*x(4)^2*sin(x(3))*cos(x(3))+(M+m)*g*sin(x(3)))/l/(M+m*sin(x(3))*sin(x(3)))];
gx=1/(M+m*sin(x(3))*sin(x(3)))*[0;1;0;-cos(x(3))/l];
xdot=f+gx*u;
```

close_affine_module.m

```
function xdot = close_affine_module(t, x);
global M m l u g K0 K1 K2;
f=[x(2);(m*l*x(4)^2*sin(x(3))+m*g*sin(x(3))*cos(x(3)))/(M+m*sin(x(3))*sin(x(3)));x(4);-(m*l*x(4)^2*sin(x(3))*cos(x(3))+(M+m)*g*sin(x(3)))/l/(M+m*sin(x(3))*sin(x(3)))];
gx=1/(M+m*sin(x(3))*sin(x(3)))*[0;1;0;-cos(x(3))/l];
h0=M*(sin(x(3)))^2/(M+m*sin(x(3))*sin(x(3)));
h1=M*(cos(x(3)))^2/(M+m*sin(x(3))*sin(x(3)));
h2=m*(sin(x(3)))^2/(M+m*sin(x(3))*sin(x(3)));
xdot=f+gx*(u-h0*K0*x-h1*K1*x-h2*K2*x);
```